

Laboratório 9 - Detecção de Objetos

Marcelo Buga Martins da Silva

CT-213 - Professor Marcos Ricardo Omena de Albuquerque Máximo

02/06/2021



1 Introdução

O propósito desse laboratório foi a implementação do algoritmo YOLO, baseado em Rede Neural Convolutiva para a Detecção de Objetos. Esse algoritmo foi utilizado no contexto de futebol de robôs para localizar as traves e a bola em imagens.

Esse relatório apresentará uma breve descrição da implementação da rede neural via Keras, bem como a implementação da detecção dos objetos a partir da saída da rede neural (já treinada).

2 Implementação da rede neural

A implementação dessa rede neural foi bem simples, visto que o Keras a torna muito intuitiva. Basicamente, bastou-se adicionar as camadas de acordo com a arquitetura da rede com as funções Conv2D, BatchNormalization, LeakyReLU e MaxPooling2D, tendo sido usada a função *concatenate* para a *skip connection* realizada. As Figuras 1 representa a saída do *model summary* da rede criada:

Model: "ITA_YOLO"

Layer (type)	Output Shape	Param #	Connected to
input_1 (InputLayer)	[(None, 120, 160, 3)]	0	
conv_1 (Conv2D)	(None, 120, 160, 8)	216	input_1[0][0]
norm_1 (BatchNormalization)	(None, 120, 160, 8)	32	conv_1[0][0]
leaky_relu_1 (LeakyReLU)	(None, 120, 160, 8)	0	norm_1[0][0]
conv_2 (Conv2D)	(None, 120, 160, 8)	576	leaky_relu_1[0][0]
norm_2 (BatchNormalization)	(None, 120, 160, 8)	32	conv_2[0][0]
leaky_relu_2 (LeakyReLU)	(None, 120, 160, 8)	0	norm_2[0][0]
conv_3 (Conv2D)	(None, 120, 160, 16)	1152	leaky_relu_2[0][0]
norm_3 (BatchNormalization)	(None, 120, 160, 16)	64	conv_3[0][0]
leaky_relu_3 (LeakyReLU)	(None, 120, 160, 16)	0	norm_3[0][0]
max_pool_3 (MaxPooling2D)	(None, 60, 80, 16)	0	leaky_relu_3[0][0]
conv_4 (Conv2D)	(None, 60, 80, 32)	4608	max_pool_3[0][0]
norm_4 (BatchNormalization)	(None, 60, 80, 32)	128	conv_4[0][0]
leaky_relu_4 (LeakyReLU)	(None, 60, 80, 32)	0	norm_4[0][0]
max_pool_4 (MaxPooling2D)	(None, 30, 40, 32)	0	leaky_relu_4[0][0]
conv_5 (Conv2D)	(None, 30, 40, 64)	18432	max_pool_4[0][0]
norm_5 (BatchNormalization)	(None, 30, 40, 64)	256	conv_5[0][0]

leaky_relu_5 (LeakyReLU)	(None, 30, 40, 64)	0	norm_5[0][0]
max_pool_5 (MaxPooling2D)	(None, 15, 20, 64)	0	leaky_relu_5[0][0]
conv_6 (Conv2D)	(None, 15, 20, 64)	36864	max_pool_5[0][0]
norm_6 (BatchNormalization)	(None, 15, 20, 64)	256	conv_6[0][0]
leaky_relu_6 (LeakyReLU)	(None, 15, 20, 64)	0	norm_6[0][0]
max_pool_6 (MaxPooling2D)	(None, 15, 20, 64)	0	leaky_relu_6[0][0]
conv_7 (Conv2D)	(None, 15, 20, 128)	73728	max_pool_6[0][0]
norm_7 (BatchNormalization)	(None, 15, 20, 128)	512	conv_7[0][0]
leaky_relu_7 (LeakyReLU)	(None, 15, 20, 128)	0	norm_7[0][0]
conv_skip (Conv2D)	(None, 15, 20, 128)	8192	max_pool_6[0][0]
conv_8 (Conv2D)	(None, 15, 20, 256)	294912	leaky_relu_7[0][0]
norm_skip (BatchNormalization)	(None, 15, 20, 128)	512	conv_skip[0][0]
norm_8 (BatchNormalization)	(None, 15, 20, 256)	1024	conv_8[0][0]
leaky_relu_skip (LeakyReLU)	(None, 15, 20, 128)	0	norm_skip[0][0]
leaky_relu_8 (LeakyReLU)	(None, 15, 20, 256)	0	norm_8[0][0]
concat (Concatenate)	(None, 15, 20, 384)	0	leaky_relu_skip[0][0] leaky_relu_8[0][0]
conv_9 (Conv2D)	(None, 15, 20, 10)	3850	concat[0][0]
=====			
Total params: 445,346			
Trainable params: 443,938			
Non-trainable params: 1,408			

Figura 1: Saída do *model summary* para a Rede Neural implementada

3 Implementação da Detecção de Objetos com YOLO

Para a detecção dos objetos, foi utilizada a função *detect* que chama as funções *preprocess_image* para um pré processamento da imagem, a utilização de YOLO para obtenção do vetor de *output* e *process_yolo_output* para o processamento da resposta da rede neural para cada imagem. Em suma, as funções auxiliares foram assim implementadas:

3.1 *preprocess_image*

Essa função redimensionou a imagem para a resolução de 160x120 pela biblioteca OpenCV. Em seguida os valores de cor foram normalizados para serem *floats* entre 0 e 1. Por fim, os valores foram redimensionados para um *array* da biblioteca NumPy de forma a serem entrada válida para a rede neural.

3.2 *process_yolo_output*

Para essa função, tomou-se o *array* de saída da rede neural e avaliou-se o vetor de *features* para cada célula. Primeiro, encontrou-se a célula com a maior probabilidade de ter uma bola, calculando-se os parâmetros da altura e largura do bounding box e a posição de seu centro, conforme a YOLO V2. Fez-se a mesma coisa para as duas maiores probabilidades da presença da trave.

Essa implementação foi bem sucedida, tendo sido a detecção dos objetos bem precisa na maioria dos casos. As Figuras 2, 3, 4, 5 e 6 apresentam resultados da implementação:

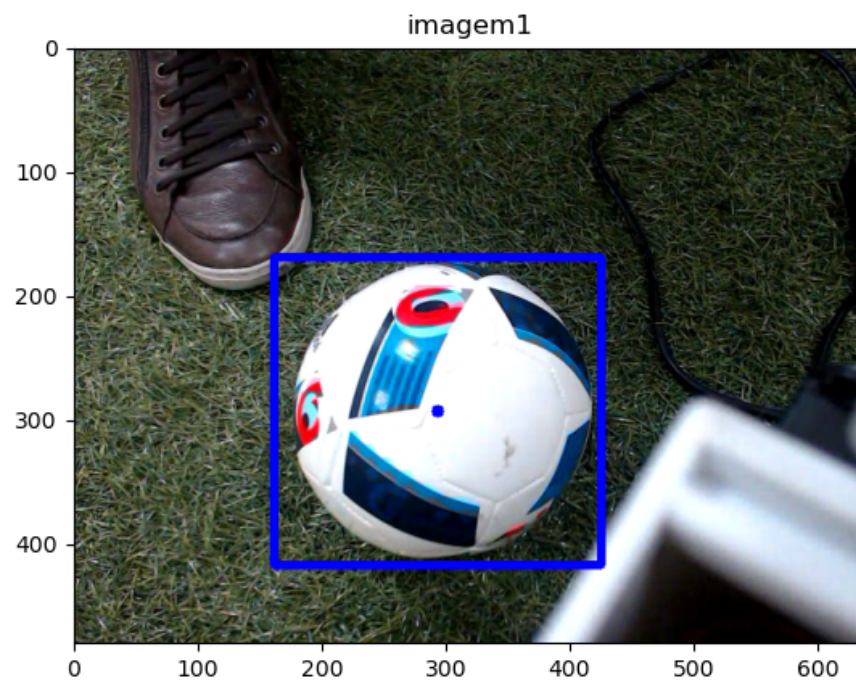


Figura 2: Detecção da Rede Neural para a imagem 1

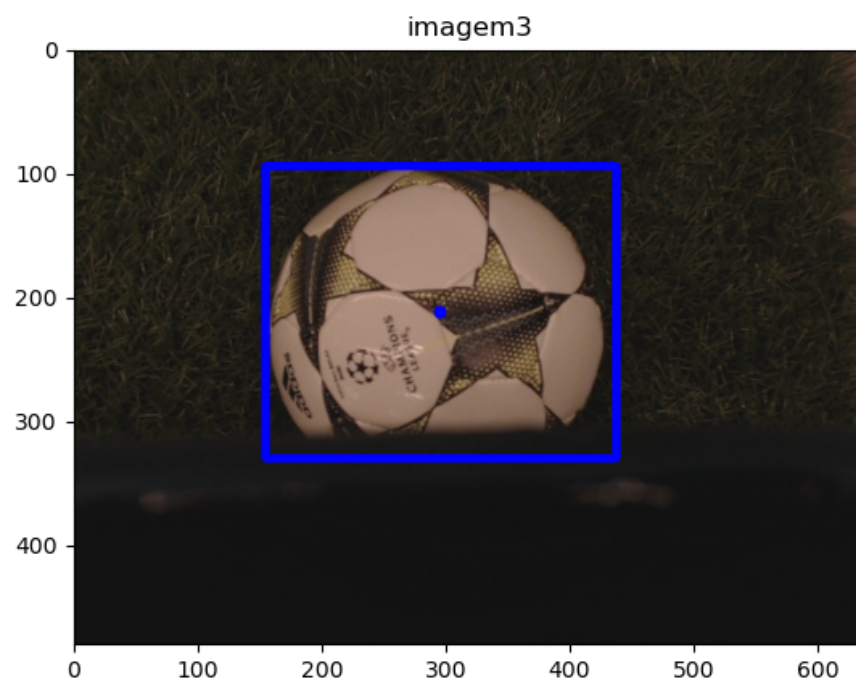


Figura 3: Detecção da Rede Neural para a imagem 3

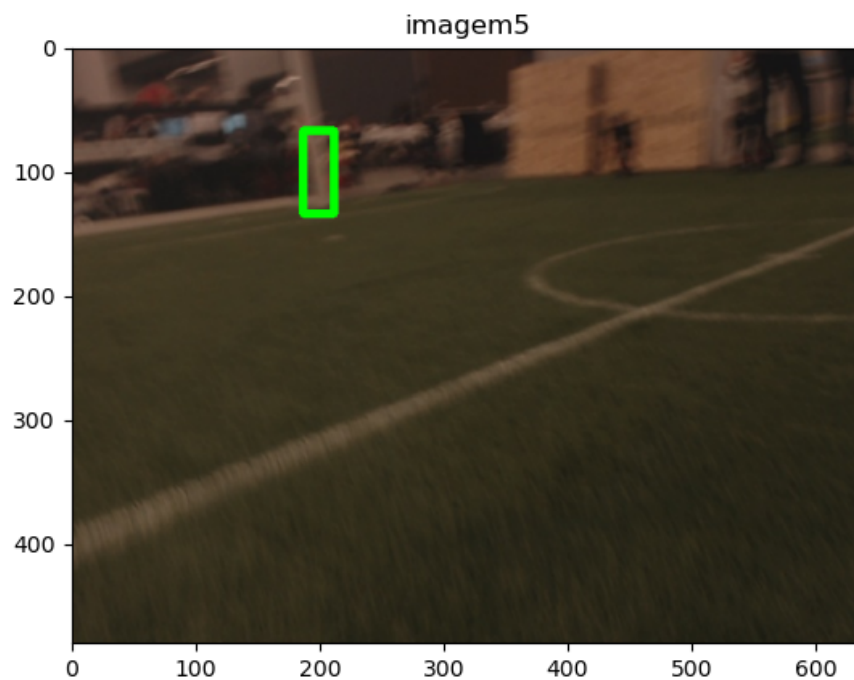


Figura 4: Detecção da Rede Neural para a imagem 5

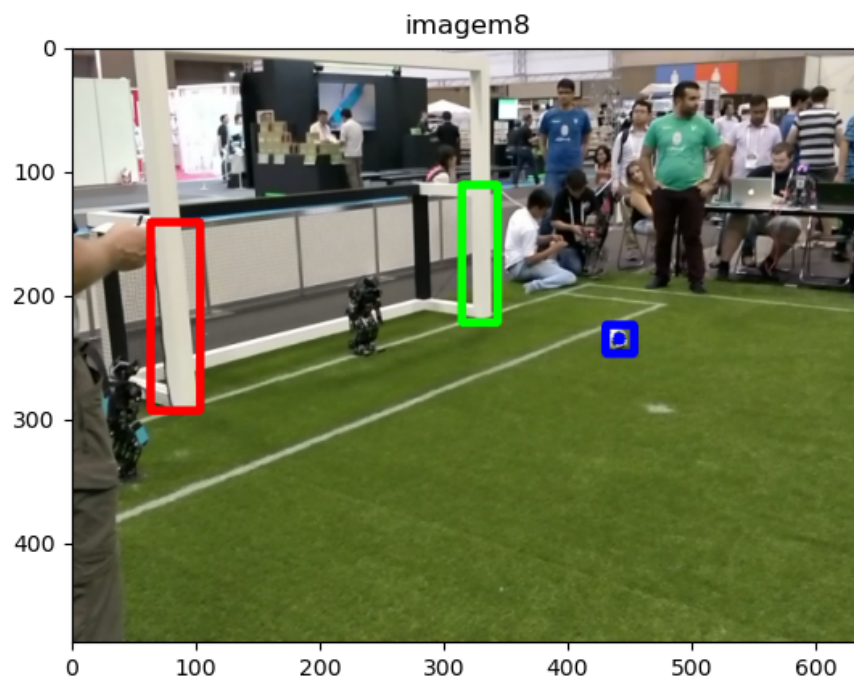


Figura 5: Detecção da Rede Neural para a imagem 8

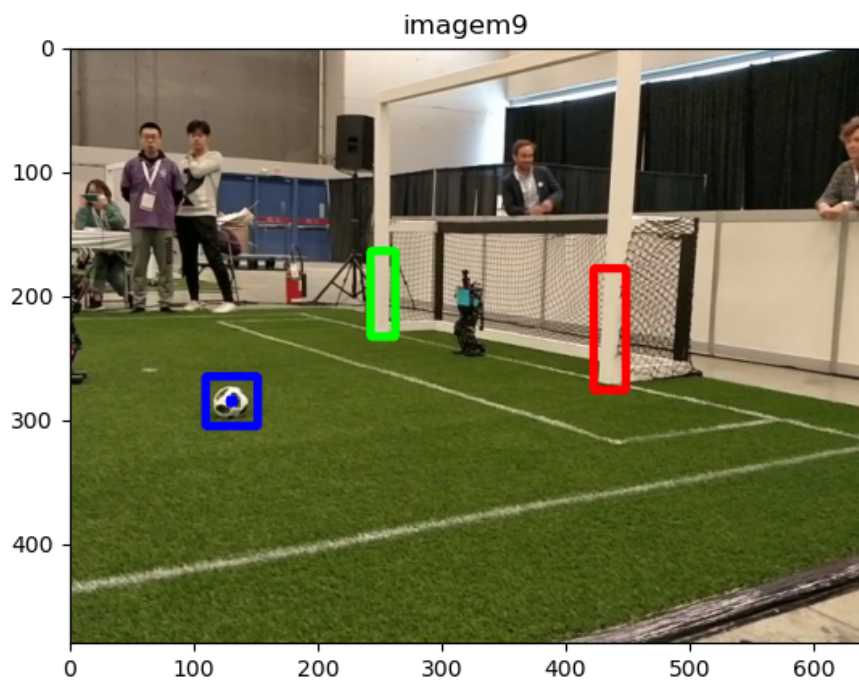


Figura 6: Detecção da Rede Neural para a imagem 9

Entre as imagens de teste, a rede neural teve resultado próximo de perfeito, tendo em vista que deseja-se identificar a bola e a parte inferior do poste. Assim sendo, essa implementação provavelmente é muito adequada para a detecção de objetos do robô humanoide.